

تطبيق طريقة المقاومة النوعية الكهربائية في تحديد اعمق المياه الجوفية والطبقات الضحلة وعمق الطبقة ذات السعة التحميلية لموقع مختار في موقع جامعة البصرة/قضاء كرمة علي.

وسام رزاق مطشر

مركز علوم البحار - جامعة البصرة - العراق

الخلاصة

اجري مسح كهربائي عمودي للمقاومة النوعية باستخدام ترتيب شلمبرجر Schlumberger Arrangement في موقع جامعة البصرة في كرمة علي. تضمن المسح خمس نقاط قياس بعمق يصل اقصاه (21) متراً. سجلت قراءات المقاومة (R) المقابلة بالاوم بجهاز قياس المقاومة الكهربائية نوع (ABEM Terrameter SAS 300B)، فسرت نتائج المقاومة بالاعتماد على التطابق الكامل وايضا استخدام برنامج (VES) لعمل خمس موديلات، وقد بينت نتائج الموديلات المستحصلة لظهور منحنيات ثلاثة الطبقة في المحطات (2، 3، 4، 5)، وموديل ثالثي الطبقة ($\rho_2 > \rho_1$). تبين هذه المنحنيات ان المقاومة النوعية الكهربائية هي بشكل عام واطئة. كما تعكس الطبقة الاولى عمق مستوى المياه الجوفية في موقع الدراسة. وان الطبقة الثانية تمثل عمق الطبقة الثانوية الطيرية (Soft) التابعة للطبقة الرئيسية التماسكية العليا Cohesive Stratum، كما تم تقدير عمق الطبقة ذات سعة التحميل العالية Bearing Capacity في منطقة الدراسة على العمق (21.3) متراً عند المحطة رقم (2).

المقدمة

استخدمت الطرق الجيوفизيائية في أغلب أعمال المسح الجيولوجي والجيولوجيا الهندسية كالتحري عن اعمق الطبقات الضحلة والعميقة واعمق المياه الجوفية والاعمال الخاصة بالمسح الجيوبكيني لما توفره هذه الطرق من الوقت والجهد مقارنة مع اعمال الحفر التقليدية فضلا عن دقة وصحة البيانات المسجلة. ومن اهم الطرق الشائعة المستخدمة في اعمال المسح الجيوبكيني والتحري عن الاعماق هي طريقة المسح الزلزالي الانكساري Seismic Refraction Method وطريقة المسح الكهربائي Electrical Methods. تعد الطريقة الكهربائية اداة جيدة في مجال تحديد اعمق الطبقات الضحلة فضلا عن عمق المياه الجوفية وكذلك نوعية المياه الجوفية او المالحة. هنالك الكثير من الدراسات السابقة في مجال الجيوفيزاء الهندسية التي استخدمت الطريقة الكهربائية والزلزالية الانكسارية في اعمال التحريات الجيوبكينيكية، ومنها دراسة المولى (1994) التي قيم فيها الخواص الجيوبكينيكية لموقع سد العظيم باستخدام الطريقة الكهربائية والطريقة الزلزالية الانكسارية، كما استخدم (Ameen, 1992) الطريقة الجيوفيزائية بمساعدة الجسات الاختبارية في دراسة جيولوجية وجبوتكينيكية للوحدات الصخرية في منطقة سد بادوش في شمال العراق، فضلا عن اعمال المركز الوطني للمختبرات الانشائية ومديرية المسح الجيولوجي في بغداد بالعديد من الدراسات الجيولوجية والجيولوجية الهندسية. ان من المهم اعطاء الدور الاساسي لاستخدام الطرق الجيوفيزائية في التحريات الجيولوجية والجيوبكينيكية المطلوبة لاي مشروع هندسي او دراسة اكاديمية وبمساعدة المعلومات المستحصلة من حفر الجسات الاختبارية (Boreholes)، اذ ان معظم الطرق الجيوفيزائية الشائعة المستخدمة في التحريات البيئية والهيدرولوجية هي طريقة المقاومة العمودية (Resistivity Sounding)، والمقاومة الجانبية (Resistivity Profiling) (Mahler,2000). فقد اهتمت هذه الدراسة بتطبيق طريقة المقاومة النوعية الكهربائية بشكل رئيس من اجل تحديد

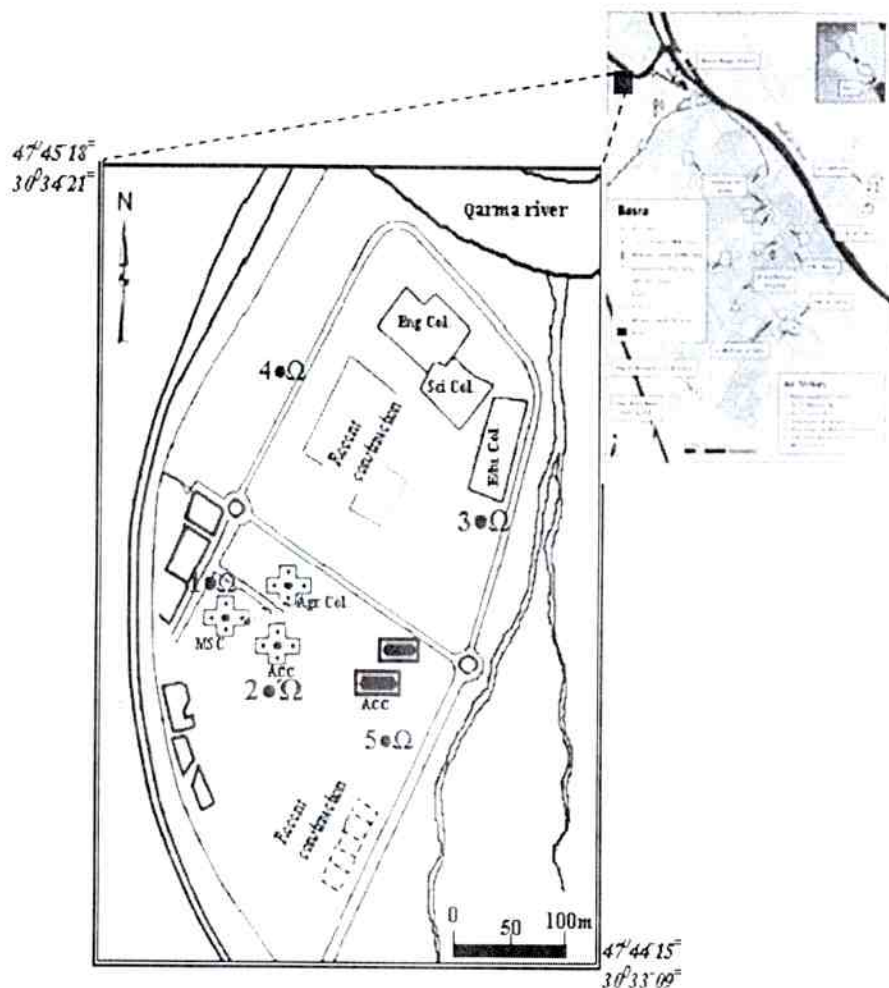
اعمّق المياه الجوفية القريبة من اسس البناء Foundations، وتقدير عمق الطبقة الطينية الثانوية الطرية (Soft) الضحلة ذات السُّكك الكبير المتأثرة بحمل الابنية Constructions Load، وكذلك عمق الطبقة ذات السعة التحملية العالية التي تكون قاعدة اساسية في الاعمال الهندسية الكبيرة.

تقع جامعة البصرة / موقع كرمة علي في شمال مدينة البصرة بين خطى الطول ($47^{\circ}44'15''$) و ($47^{\circ}45'18''$) شرقاً، وخطي العرض ($30^{\circ}21'34''$) و ($30^{\circ}33'09''$) شمالاً، وتقدر مساحتها بـ 200 ألف متر مربع، الشكل (1)، وتشكل نقاط المسح جزءاً منها. وتحاط الجامعة من الشمال والشمال الشرقي بنهر كرمة علي، الذي تحيط نهرانه بموقع الجامعة على طول جانبها الشرقي.

الوضع الترسبي لمنطقة التحري

ترب البصرة عموماً جزء من تربات العصر الرباعي الواسع الانتشار، ضمن تربات السهل الفيضي لحوض وادي الرافدين الاسفل، التي ممكن تصنيفها إلى نوعين رئيين (محمود، 1997): النوع الأول الرواسب التماسكية Cohesive Soils وهي رواسب الغرين والطين الحديثة ورواسب تكوين الحمار، أما النوع الثاني فيمثل الرواسب غير التماسكية Non-Cohesive Soils وهي الرواسب الرملية لتكوين الدبدبة.

يوضح الشكل (2) المقطع النموذج لطبقات التربة في منطقة الدراسة، والمؤلفة من الطبقتين الرئيسيتين المكونتين للترب البصرة عموماً ومنها موقع منطقة الدراسة، حيث يظهر المقطع بعض خصائص هاتين الطبقتين وخصوصاً الطبقة العليا التماسكية التي تصل بين (14 - 30) متر في مختلف مواقع مدينة البصرة، وتنصل تقريرياً بحدود 21 متر عمماً كمعدل في موقع الجامعة (محمود، 1997)، وهي ضمن اعمق المسح الجيوفيزيائي للمنطقة. والطبقة الثانية تمثل الطبقة الرملية الكثيفة إلى كثيفة جداً (Very-Dense) التي تمثل الطبقة العميقة ذات السعة التحملية العالية لتحمل المنشآت والابنية الكبيرة أذ يتم البحث عنها كأسس عميقة تستخدم فيها الركائز للوصول إليها.



شكل (1) موقع منطقة الدراسة بالنسبة لمحافظة البصرة، ومحطات المسح الكهربائي، (الخريطة ماخوذة ومعدلة من صورة فضائية لبرنامج Google Earth في الانترنت، 2005).

No.	Layers symbol	Sub division layer	Grain size distribution			Atterberg Limits	
			% Sand	% Silt	% Clay	Liquid Limit	Plasticity Index
(1)	Clayey Silt & Silty Clay Layer	2.5 - 3.5 m depth	STIFF	Soft	25 - 50	25 - 66	10 - 35
		11 - 13 m depth	STIFF-Hard	Dense - Very Dense	45 - 75	65 - 92	-
(2)	Silby Sand Layer	20.5 - 22.5 m depth			8 - 35		

شكل (2) المقطع الطبقي النموذجي لترة جامعة البصرة موقع كرمة على،
 (الشكل معدل من معلومات لدراسات سابقة كدراسة (محمود، 1997)).

طريقة المقاومة الكهربائية والتقنيات المستخدمة PROCEDURES & TECHNIQUES

استخدمت طريقة المقاومة العمودية Electrical Sounding method او ترتيب شلمبر جر (Schlumberger Arrangement) لمسح اعمق تتراوح بين 18-21 متراً، حيث كانت المسافة بين اقطاب التيار (AB/2) تتراوح بين (1.5 الى 60) متراً، واقطب الجهد (MN/2) بين (0.5 الى 10)، بأسثناء المحطة (2) التي وصلت فيها المسافة (AB/2) الى 100 متراً وذلك من اجل تحديد عمق الطبقة التحميلية، كما مبين في الجدول (1). تعد الاعماق المأكولة للتحري بطريقة المقاومة كافية للتعرف على اعمق الطبقات والمياه الجوفية.

قياس المقاومة الظاهرية bulk Resistivity تحت سطحية لغرض تحديد بعض الخصائص الفيزيائية لطبقات الارض، وعمق امتداداتها، حيث يمرر التيار الكهربائي مباشرة داخل الارض عبر قطبي التيار Current electrodes ويتم فرق الجهد المتولد عنه يتم قياسه عبر قطبي الجهد Potential electrodes، ويتم ترتيب اقطاب التيار والجهد بشكل خطى Linear pattern. استخدم نمط ترتيب شلمبر جر (شكل-3) لقياس المقاومة الظاهرية (R) المقاسة بـ(أوم) للتربة بين الاقطب وما يحيطها. اذ تم اختيار خمس مواقع موزعة بشكل متجانس كمحطات للقياس ضمن موقع الجامعة في كرمة علي كما هو ملاحظ في شكل (1)، وباستخدام جهاز (ABEM Terrameter SAS 300B) الذي يقيس قيمة المقاومة الكهربائية (Ω) مباشرة، من خلال المعالجة الذاتية لقيم التيار المرسل وفرق الجهد المتولد. استخدمت تقنية برنامج (VES) لرسم موديلات المنحنيات بعد ان زود بالبيانات الخاصة بالمسح الكهربائي العمودي للمحطات الخمسة والمتصلة بقراءات المقاومة النوعية الظاهرية ومسافات اقطاب التيار (AB/2)، يختص البرنامج برسم موديلات مطابقة للمنحنيات الثانية والثلاثية. يعالج برنامج،

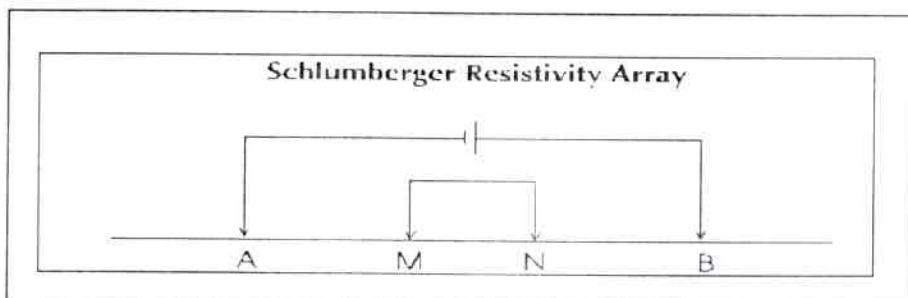
جدول (1) المسافة بين قطبي التيار وقطبي الجهد المستخدمة بالمسح الكهربائي.

No.	AB/2	MN/2	K
1	1.5	0.5	6.28
2	2	0.5	11.78
3	3	0.5	27.5
4	4	0.5	49.5
5	5	0.5	77.78
6	3	1	12.57
7	4	1	23.57
8	6	1	55
9	8	1	99
10	10	1	155.57
11	6	2	25.14
12	8	2	47.14
13	10	2	75.42
14	15	2	173.64
15	20	2	311.14
16	15	5	62.8
17	20	5	117.85
18	30	5	275
19	40	5	495
20	50	5	777.85
21	30	10	125.71
22	40	10	235.71
23	50	10	377.14
24	60	10	550
25	80	10	990
26	100	10	1555.71
27	100	20	754.28

الـ(VES) المعد من قبل (Cooper, 2005)، قيم البيانات المستحصلة باستخدام ترتيب شلمبرجر، (شكل-3)، حيث يفترض البرنامج التطبيق الافقى للازم لعدد من الطبقات تتميز كل طبقة بمقاومة وسمك معين، horizontally Stratified يعتمد على نظام Microsoft windows. كما استخدمت تقنية برنامج

(SURFER, version 7) في رسم خرائط نتائج الاعماق للمياه الجوفية، فضلاً عن اعماق الطبقة الطينية الثانوية *Soft*.

في الموديلات المرسومة فإن قيم (S) و (T) الظاهرة تمثل العلاقة بين (H/ρ) و $(H^*\rho)$ على التعاقب. والتي يفضل ان تكون ضمن حدود نسبة معينة لا تزيد عن 5% (المولى 1994)، حيث تعكس قيمها مستوى الغموض (Ambiguity) في تفسير نتائج الاستكشاف لمقاومة النوعية الكهربائية وهو ما يعرف بمبدأ التكافؤ .Principle of Equivalence



شكل (3) ترتيب شلمبرجر المستخدم بطريقة المسح الكهربائي العمودي.

THE RESULTS نواتج المسح الكهربائي THE MODELS OF RESISTIVITY موديلات المسح الكهربائي

جدول (2) يوضح قيم المقاومة النوعية الحقيقة والسماكات في المحطات المدروسة.

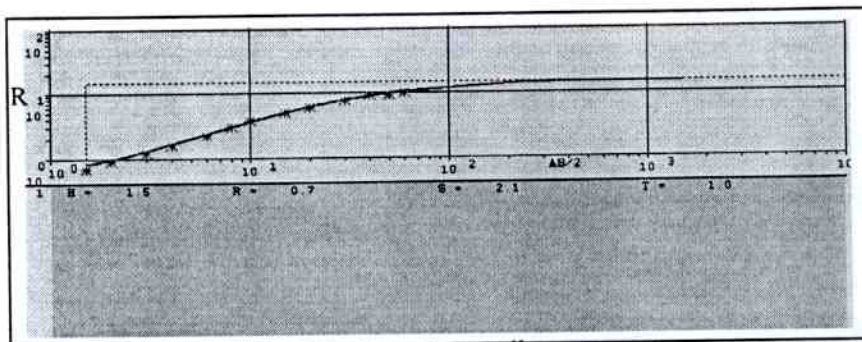
station	Resistivity (ρ) ohm-m			Thickness (h) m		
	ρ_1	ρ_2	ρ_3	$h1$	$h2$	$h3$
1	0.7	14.7	-	1.5	-	-
2	2	108.7	2.2	1	2	17.7
3	4.1	45.1	3.3	1.3	1.9	-
4	0.2	5	0.1	1.5	2.3	-
5	0.7	22	0.6	1.6	0.8	-

النتائج

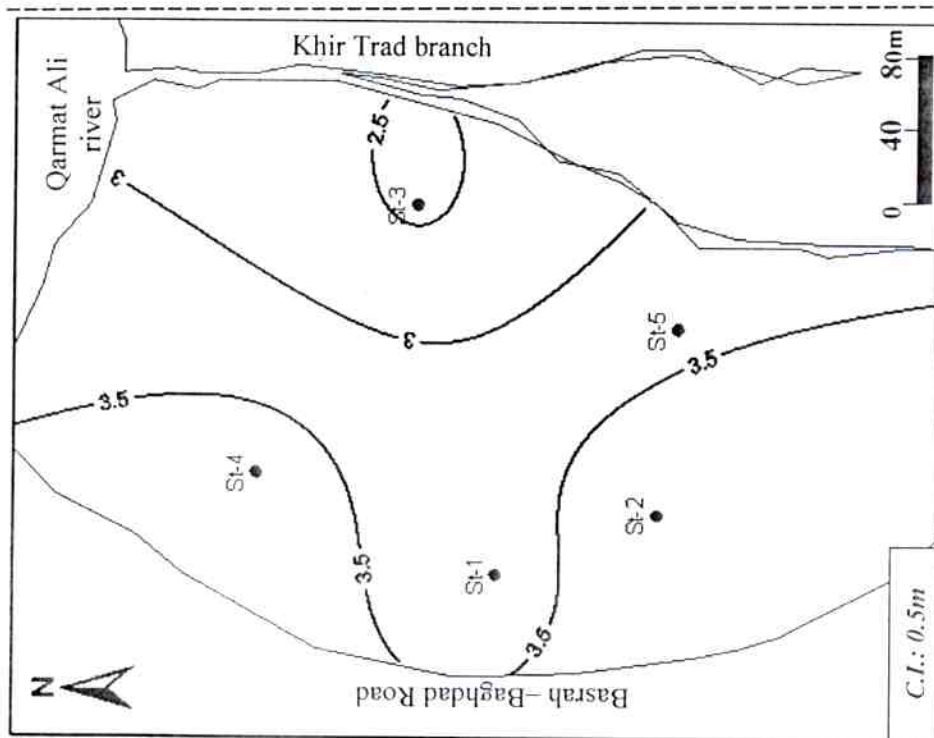
تم تفسير نتائج الاستطلاع الكهربائي العمودي بدقة من خلال ربط النتائج المستحصلة لقيم المقاومة النوعية والسمك وبالاستعانة بالمعلومات المتوفرة عن الموقع من آبار اختبارية Borholes للدراسات السابقة، الشكل (2)، وذلك لمعرفة الوضع الهندسي للترابة المكونة لطبقات المنطقة.

توضيح الاشكال (4)، (5)، (6)، (7)، (8)، منحنيات المقاومة النوعية للمحطات الخمسة، حيث تمثل موديلات العلاقة المرسومة بين المقاومة النوعية الظاهرة (ρ)، والمسافة ($AB/2$) على ورق اللوغارتم - لوغارتم. وتم ملاحظة ما يلي:

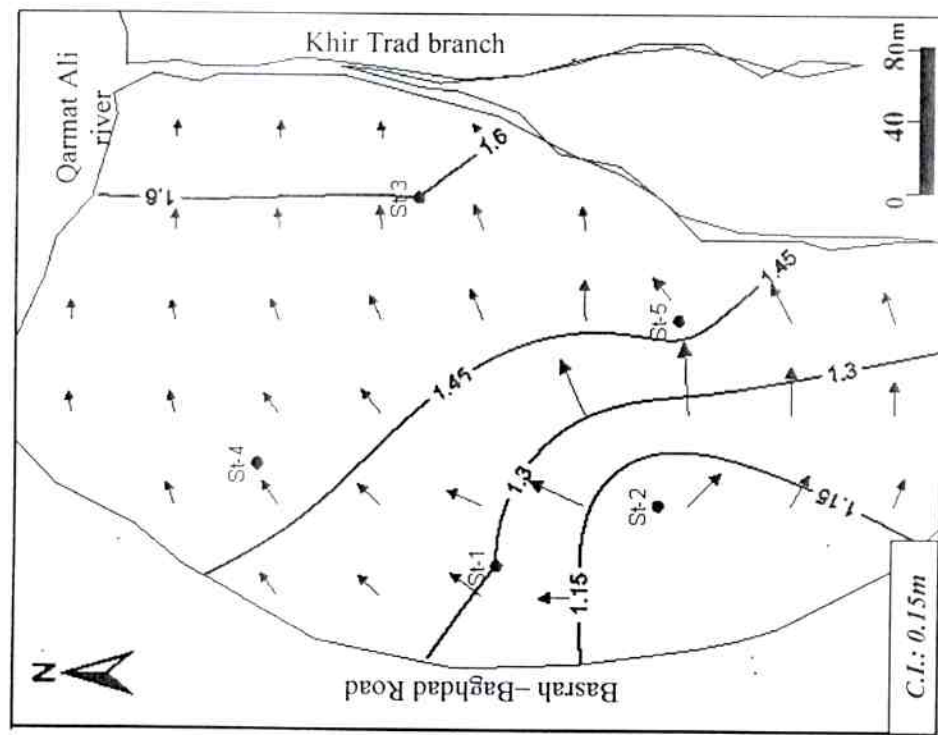
1. المحطة (1) في الشكل (4) تمثل منحني ثانوي الطبقة ($\rho_2 > \rho_1$).
2. المحطات (2)، (3)، (4)، (5)، تمثل منحنيات ثلاثية الطبقة ذات تطابق كامل تقربياً.



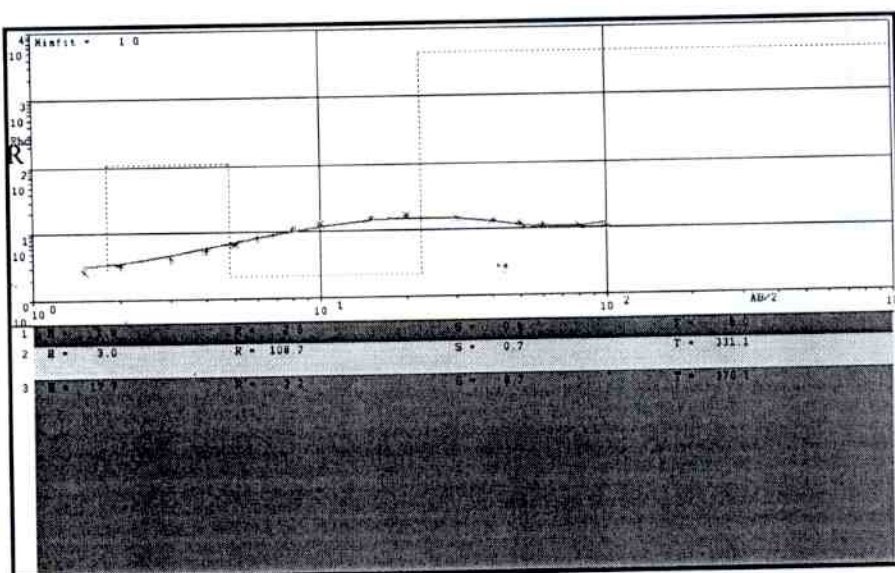
شكل (4) منحني المقاومة النوعية الكهربائية (موديل ثانوي الطبقة) للمحطة رقم (1).



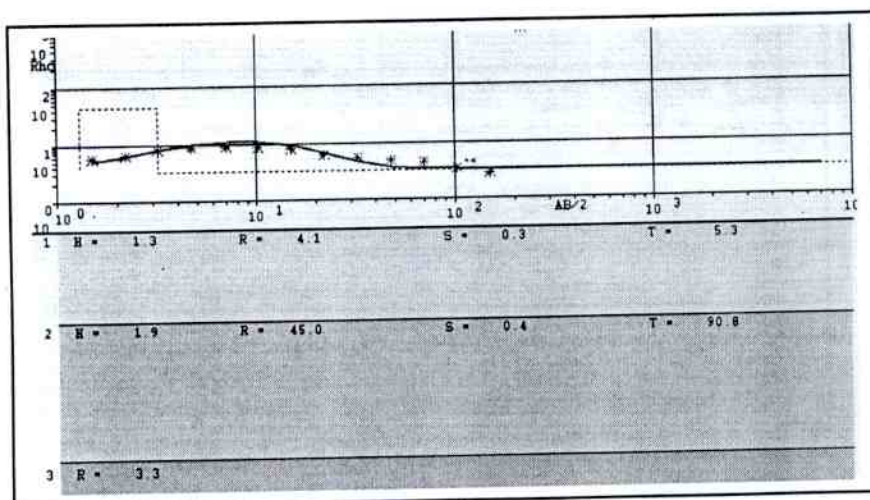
شكل (٩) خريطة العمق للطبقة الحليبية الثانوية الطيرية (Soft).



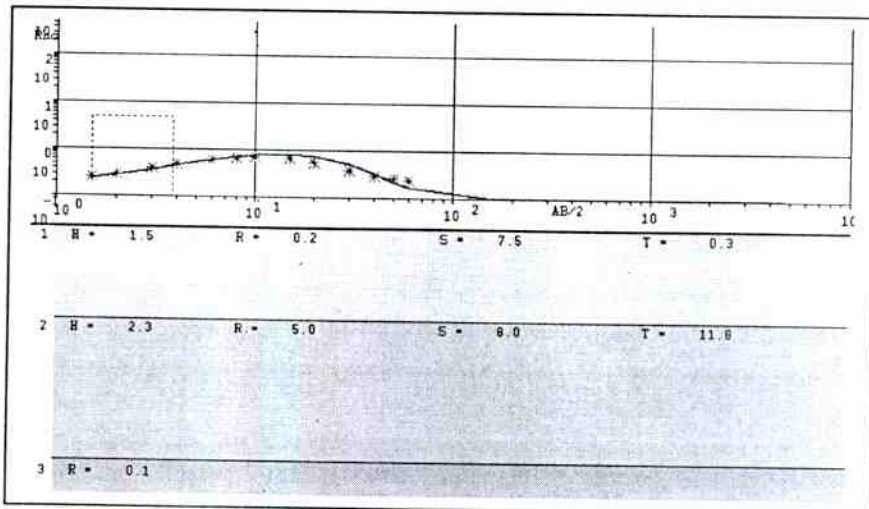
شكل (١٠) خريطة العمق للمياه الجوفية واتجاه حركتها.



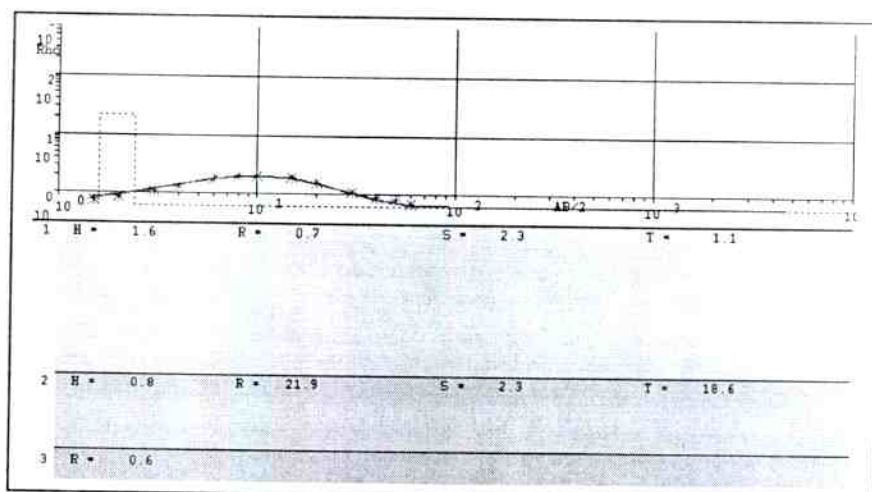
شكل (5) منحني المقاومة النوعية الكهربائية (موديل ثلاثي الطبقة) للمحطة رقم (2) (المسافة (AB/2) بين (100-1.5) مترأ.



شكل (6) منحني المقاومة النوعية الكهربائية (موديل ثلاثي الطبقة) للمحطة رقم (3).



شكل (7) منحني المقاومة النوعية الكهربائية (موديل ثلاثي الطبقة) للمحطة رقم (4).



شكل (8) منحني المقاومة النوعية الكهربائية (موديل ثلاثي الطبقة) للمحطة رقم (5).

ومن ربط جميع البيانات المساعدة يتبيّن ما يلي:

1. تمثل الطبقة الأولى عمق المياه الجوفية، إذ ان جميع الموديلات قد اظهرت سماكّات الطبقة الأولى بحدود (1.0 - 1.6) متر عمق أي بمعدل (1.3) متر وهو مطابق لمستوى الماء الجوفي المحسوب بطرق الحفر Boreholes (محمود، 1997)، وتتراوح حدود المقاومة النوعية لهذه الطبقة بحدود (0.2 - 2.0) أوم/متر، باستثناء المحطة (3) ذات المقاومة (4.1) أوم/متر. وبالاستناد الى قيم اعمق المياه الجوفية المستحصلة من قياس المقاومة النوعية تم رسم خريطة لاعمق المياه الجوفية لموقع الجامعة، الشكل (10)، والتي تظهر نزعة لحركة المياه الجوفية باتجاه نهر كرمة على وترعاته اي ان هناك عملية تغذية لنهر كرمة على المحاذي للجامعة من الجانب الشمالي والشمالي الشرقي وترعاته branches التي تحيط بموقع الجامعة على طول الجانب الشرقي.

2. الطبقة الثانية ذات الاعماق بين (2.4 - 3.8) متر وبمعدل (3.1) متر، وذات المقاومة القليلة جداً بين (0 - 0.6) وبمعدل (0.3) أوم-متر، باستثناء المحطة رقم (3) والمحطة رقم (2) التي تصل مقاومتها المسجلة الى (45) و (108.7) أوم-متر على التّعّاقب. هناك احتمال كبير جداً ان هذه الطبقة تمثل الطبقة الثانوية الطرية (Soft) التابعة للطبقة التّماسكية العليا الرئيسة Cohesive، (شكل-2)، كونها تتميز بمحتوها الرطّوبـي العـالـي الـامـر الـذـي يـزـيد مـن توـصـيلـيـتها الكـهـربـائـيـة وبالتالي مقاومة نوعية واطئة جداً كما هي مسجلة في الجدول (1)، فضلاً عن مطابقة اعماقها مع الاعماق التي تتراوح به هذه الطبقة الثانوية Soft في شكل المقطع النموذجي للمنطقة في (شكل-2). ويظهر الشكل (10) خريطة العمق للطبقة الطينية الثانوية (Soft)، وتعكس هذه الخريطة ايضاً سماك الطبقة الطينية السطحية القوية (Stiff) التي تعلوها.

3. عمق الطبقة الرملية ذات السعة التحملية العالية في المحطة (2) يصل إلى (21.7) متر عمقاً، وهو مطابق مع المدى المتوقع لاعماقها المأهولة من أعمال الحفر والتي تتراوح بين (20-22.5) متراً.

ان جميع المواد المكونة لطبقات التربة تحت السطح من حبيبات ومواد رابطة وماء تشتهر جميعها وتساهم في تمثيل المقاومة الكهربائية الكلية المسجلة (Mahlar, 2000)، ففي منطقة الدراسة عموماً فإن قيم المقاومة الكهربائية المسجلة هي قيم واطئة، الامر الذي يخضع لعدد من المسبيبات منها ما يرتبط بالحبيبات الناعمة المكونة للتراب، فالرواسب الغرينية الطينية والطينية الغرينية المكونة للطبقة الرئيسية العليا Cohesion Stratum وذات السمك الكبير، (شكل-2)، تمثل السبب الرئيس الاول في انخفاض قيمة المقاومة الكهربائية، والسبب الآخر لانخفاض قيمة المقاومة هو وجود المياه الجوفية وقربها من السطح (1-2) متر عميق تقربياً، والتي تمتلك (المياه الجوفية) ملوحة عالية تتراوح بين (10000-60000) جزء بالمليون (PPm) في جنوب العراق (Buringh, 1960)، حيث يعطي هذا زيادة في المحتوى الايوني او كمية المواد الصلبة المذابة في الماء المسامي. وبالتالي نقصان في المقاومة الكهربائية. تتميز منحنيات المقاومة الكهربائية الناتجة في الاشكال (4)، (5)، (6)، (7) (8)، بأن المقاومة النوعية المسجلة للمحطات بشكل عام واطئة وللأسباب المذكورة آنفاً. كما ان المنحنيات الناتجة ثلاثة الطبقة وغالباً تمتلك تطابق كامل تقريباً مع المنحنيات النظرية. وتشير هذه المنحنيات الى وجود الطبقتين الرئيسيتين والطبقة الثالثة على العمق (1.3-1.6) متر عميق التي تمثل عمق المياه الجوفية في منطقة الدراسة.

كما ان الشذوذ الملاحظ في قيمة المقاومة المسجلة في المحطة (3) للطبقة الثانية التي قدرت بـ(45) أوم.متر اذ يعكس هذا التباين المسجل عن بقية المحطات الى وجود حالة من التغير الافقى في قيمة المقاومة الى تغير خواص الطبقة الثانية افقياً بسبب التغير الجانبي في نوعية تربة الطبقة، ان القيمة المسجلة تساوي (45)

اوم.متر وهي تدخل ضمن مدى قيم المقاومة النوعية التي تعكس نوعية ترب رملية رطبة (Wet Sand) بحسب (FLHP, 2005)، وهو قد يشير الى وجود عدسات رملية Sand lenses ضمن الطبقة الطينية والغرينية الطينية، وهو احتمال وارد جداً، فحيث ان هذه الحالة غير موجودة في المقطع النموذجي في الشكل (2)، اذ ان الشكل (2) يمثل المقطع المثالي لوضع التربات في مدينة البصرة والسهل الرسوبي الجنوبي بشكل عام الا ان الحالة الواقعية لترسبات السهل الرسوبي الفيضي، وبضمها ترب البصرة تمتاز بوجود ما يعرف بأنظمة الشذوذ Erratic Zones وهي عبارة عن عدسات رملية مختلفة السماكات والامتداد الافقى تتداخل مع طبقات طينية وبالعكس، الامر الذي ممكن ان يفسر حالة التباين المفاجئ بالخواص.

الاستنتاجات

يظهر مما تقدم من منحيات المقاومة النوعية الكهربائية ان الطبقات الظاهرة تمثل بـ:

1. ان الطبقة الاولى تمثل مستوى عمق المياه الجوفية في موقع الدراسة.
2. ان الطبقة الثانية تمثل مستوى عمق الطبقة الثانوية Soft التابعة للطبقة الرئيسية التماسكية العليا.
3. المقاومة النوعية المسجلة للمحطات بشكل عام واطئة بسبب تشعب الطبقات بال المياه المالحة.
4. قدرت الطريقة الكهربائية عمق الطبقة التحملية الرملية الكثيفة بشكل دقيق وواضح ضمن المدى المتوقع لعمق هذه الطبقة (21.3) متر، وذلك لفارق الواضح في الخصائص المقاومة النوعية المسجلة بين طبقة الرواسب التماسكية الطينية وطبقة الرواسب القديمة التي تمثل الطبقة الرملية التحملية

المصادر

المولى، سلمان زين العابدين (1994). "استخدام الطرق الجيوفيزياتية في تقييم الخواص الجيوتكنيكية لموقع سد العظيم. اطروحة دكتوراه غير منشورة، قسم علم الارض، كلية العلوم، جامعة بغداد.

محمود، رائد عزيز (1997). "دراسة بعض الخصائص الجيوتكنيكية لترسبات العصر الرباعي في مدينة البصرة" رسالة ماجستير غير منشورة، قسم علم الارض، كلية العلوم، جامعة البصرة.

Ameen, M., 1992. "Geology and geotechnical study of the rock units in Badush Dam area", N. Iraq. Unpublished Ph.D. Thesis Dept. of geology University of Baghdad

Buringh, P. 1960. "Soil and Soil conditions in Iraq". Ministry of Agriculture research and project, Baghdad Iraq 322p.

Cooper, G. R. J. 2005." VES Software Program ", Schoole of Geosciences, University of the Witwatersrand, Johamesburg, 2050, South Africa, Web Site: www.wits.ac.za/Science/geophysics/gc.htm.

FLHP, 2005. "Geophysical Methods Manual " to CFLHD Geotechnical Team. Federal Lands Highway Program, US Department transportation – Fedral Highway Adminstration.

Mahler, A. :B. 2000."Application of Resistivity in Geotechnical Engineering" project GT-12 of the Hazards Evaluation program. Liquefaction induced Permanent deformations. Georgia Institute of Technology. Mid-America Earthquake Center.

APPLICATION OF ELECTRICAL RESISTIVITY METHOD IN
 GROUND WATER & BEARING STRATUM DETERMINATION
 IN SELECTED LOCATION – BASRAH UNIVERSITY –
 QARMAT ALI

W. R. Mutasher

Marine Science Center, Univ. Basrah, Iraq

ABSTRACT

The vertical resistivity investigation is carried out with Schlumberger arrangement using on basrah university site which locate in north of Basrah city at Qarmatt Ali town. The survey is achieved by (5) Stations distributed over investigated area (university) that up to (21m) depth where is recorded values of bulk resistivity (R) measured (ohm) with device of measurement of Electrical Resistivity (ABEM Terrameter SAS 300B).

The results of the Resistivity values is interpreted owing to the complete matching, also, a computer program named (VES) for creating five of models is applied. The result models show third layer curves in (2, 3, 4, 5) positions, and second layer curve type model ($\rho_2 > \rho_1$) in (1) position. These plotted models illustrate the electrical specific resistivity is generally values low. The first recorded diagnosed layer represents a depth of water table in university site, while the second diagnosed layer is a depth level of sub stratum (Soft) for the mean cohesive stratum that extend from ground surface, also the stratum of bearing capacity is determined at (21.3m) in (2) station.